

# ANÁLISE SEMIAUTOMATIZADA DE GEOMORPHONS DA BACIA HIDROGRÁFICA DO RIO SOTURNO-RS

Giorge Gabriel Schnorr <sup>1</sup>

Fabiano Dal Ongaro<sup>2</sup>

Lucas da Silva Ribeiro <sup>3</sup>

Luís Eduardo de Souza Robaina <sup>4</sup>

#### **RESUMO**

O mapeamento das características do relevo permite uma série de análises que podem ser voltadas para a compressão dos processos que ocorreram no passado, bem como utilizadas como subsidio a ações de planejamento territorial. O presente trabalho visa a aplicação da metodologia dos geomorphons à análise das características físicas da Bacia Hidrográfica do Rio Soturno (BHRS), centro do Rio Grande do Sul. Dessa forma, a metodologia utilizada baseia-se na classificação do relevo em 10 diferentes elementos por meio do comando r.geomorphon, no software GrassGIS, a partir da entrada de um MDE. No presente trabalho, utilizou-se de um produto com 30 metros de resolução espacial derivado da missão SRTM. Por meio da aplicação da metodologia proposta, destaca-se a predominância de elementos que marcam a transição entre o Planalto sob a Formação Serra Geral e a Depressão Periférica. Dessa forma, os elementos encosta, vale, crista e crista secundária ocupam mais de 60% da área total da bacia. As diferentes características físicas condicionam variedade no uso e ocupação da terra, principalmente quando relacionado ao cultivo agrícola. A aplicação da metodologia de classificação dos elementos do relevo por meio dos geomorphons pode ser utilizada como ferramenta de apoio a políticas voltadas ao planejamento e ordenamento territorial, uma vez que permitiu a classificação das principais características físicas da área de estudo.

### INTRODUÇÃO

A superfície do planeta é estruturada em formas de relevo que são resultado da influência acumulada de processos geomórficos, geológicos, hidrológicos, ecológicos e de formação do solo que atuaram sobre ela ao longo do tempo (MACMILLAN e SHARY, 2009). A possibilidade de mapeamento e caracterização dessas feições permite a compreensão dos processos pretéritos, bem como pode subsidiar a gestão e o planejamento territorial.

<sup>&</sup>lt;sup>1</sup> Mestrando do Curso de Geografia da Universidade Federal de Santa Maria - UFSM, giorgeschnorr@gmail.com;

<sup>&</sup>lt;sup>2</sup> Mestrando do Curso de Geografía da Universidade Federal de Santa Maria - UFSM, fabiano.on.ufsm@gmail.com;

<sup>&</sup>lt;sup>3</sup> Doutorando do Curso de Geografia da Universidade Federal de Santa Maria - UFSM, lucassilvaribeiro12@gmail.com;

<sup>&</sup>lt;sup>4</sup> Prof. Dr. do Departamento de Geociências da Universidade Federal de Santa Maria - UFSM, lesrobaina@yahoo.com.br;



Dessa forma, é possível classificar o relevo com base nas suas características. Uma metodologia que permite tal classificação, refere-se ao mapeamento semi automático dos elementos do relevo – *geomorphons* (JASIEWICKZ e STEPINSKI, 2013). Por meio dessa metodologia, é possível classificar o relevo em 10 diferentes elementos: áreas planas (*flat*), pico (*peak*), crista (*ridge*), ressaltos (*shoulder*), crista secundária (*spur*), encosta (*slope*), escavado (*hollow*), base de encosta (*footslope*), vale (*valley*), e fosso (*pit*) a partir da comparação entre altura topográfica, distância e ângulo dos pixels vizinhos em relação ao pixel central.

No Brasil, esta metodologia foi inicialmente aplicada por Robaina, Trentin e Laurent (2016) no estado do Rio Grande do Sul. Também em escala estadual, nos estados do Tocantins (ROBAINA et al., 2017) e Paraná (SILVEIRA et al., 2018), bem como em bacias hidrográficas (FURLAN, TRENTIN e ROBAINA, 2018; RADEMANN e TRENTIN, 2018; GUADAGNIN e TRENTIN, 2019; DUTRA, FURLAN e ROBAINA, 2020); e em escala municipal (DOTTO e ROBAINA, 2021). Além disso, a ferramenta também já foi utilizada como apoio no mapeamento digital de solos (PINHEIRO et al., 2015; SILVA et al., 2016).

Nesse contexto, o presente trabalho tem como objetivo aplicar a metodologia dos *geomorphons* à análise das características físicas da Bacia Hidrográfica do Rio Soturno (BHRS), localizada na região central do Rio Grande do Sul (Figura 1). A pesquisa também aborda aspectos relacionados à morfologia e às características de uso da terra da área de estudo, visando contribuir para uma compreensão integrada da dinâmica geomorfológica e hidrológica da bacia.



LOCALIZAÇÃO DA BACIA HIDROGRÁFICA DO RIO SOTURNO Júlio de Castilho Pinhal Grande Nova Palma São Martinho LEGENDA Ivorá Francisca Limite da Bacia Ferrovia Pavimentado Rio Soturno Não Pavimentado Arroio Felicio Desconhecido Agudo Soturno Municípios RS Itaara Sistema de Coordenadas Geográficas Datum: SIRGAS 2000. Santa Maria Base de Dados: IBGE. São João do Base Vetorial Contínua do RS. Restinga Base Map: Open Street Maps

Figura 1 – Mapa de localização da área de estudo.

Fonte: Ribeiro et al. (2024).

#### METODOLOGIA

Inicialmente, foi realizada a delimitação da BHRS a partir do processo de vetorização manual, com o auxílio de características topográficas da área, como curvas de nível, pontos cotados e imagens de satélite. Na sequência, foram organizadas informações da área para compor o banco de dados do trabalho.

Para a aplicação da metodologia de geração dos elementos do relevo, utilizou-se como produto um Modelo Digital de Elevação (MDE). No presente trabalho, utilizou-se de um MDE com resolução espacial de 30 metros, obtido pelo *United States Geological Survey* (USGS), em que estão hospedadas as imagens do sistema de radar da missão *Shuttle Radar Topography Mission* (SRTM).

A classificação dos *geomorphons* na BHRS foi realizada utilizando a ferramenta *r.geomorphons* do GRASS, integrada ao *software* QGIS (https://grass.osgeo.org/grass82/manuals/r.geomorphon.html). Essa ferramenta aplica



um algoritmo desenvolvido por Jasiewicz e Stepinski (2013) para a classificação dos elementos do relevo.

Segundo Jasiewicz e Stepinski (2013), o processo envolve a avaliação de uma janela de *pixels* ao redor do *pixel* central, onde os valores são atribuídos conforme a diferença de altura: "1" se o valor for maior, "0" se igual, e "-1" se menor. Além da variação de altura, é considerada a linha de visada, levando em conta os ângulos *zenit* e *nadir* nas oito direções ao redor do pixel central, sendo estabelecida uma angulação máxima para classificar como plano (*flat*).

É válido ressaltar que se fez necessário o teste de diversas variáveis, buscando a que melhor se adapte à área de estudo. No presente trabalho, definiu-se: 2 graus para a variável "t" (flat terrain angle threshold), 30 pixels para a variável "L" (search distance) e 2 para a variável "s" (skip distance).

### RESULTADO E DISCUSSÕES

A área da BHRS ocupa aproximadamente 986,767 km², estando presente de forma parcial nos municípios de: Júlio de Castilhos (23,56%), Pinhal Grande (0,17%), Nova Palma (47,51%), Ivorá (99,37%), Silveira Martins (31,81%), Faxinal do Soturno (82,92%), Dona Francisca (9,87%), Restinga (0,93%) e São João do Polêsine (53,65%). A altitude na bacia varia entre 36 e 544 metros, resultando em uma amplitude altimétrica de 508 metros.

O relevo da BHRS (Figura 2) é caracterizado por apresentar características de uma área de transição entre o compartimento geomorfológico Planalto Meridional Brasileiro (sobre a Formação Serra Geral), seu rebordo e a Planície Sedimentar Aluvial da Depressão Central (SARTORI et al., 1975).

Descovi Filho (2007) classificou três unidades para a BHRS com base nos atributos do relevo. A Unidade I, que representa o baixo curso da bacia hidrográfica, é caracterizada por declividades de 0 a 2% e altitudes inferiores a 120 metros. A Unidade II está situada no médio curso da área de estudo, com declividades superiores a 15% e altitude média de 340 metros (áreas do rebordo do planalto). Já a Unidade III, localizada no alto curso, apresenta declividades que variam de 2% a 15% e altitude média próxima de 450 metros.



-53°21′0″ -53°27′36″ -53°40′48″ -53°40′48″ -53°34′12′ Declividade Hipsometria 250 - 300 300 - 350 Limite BHRS Sistema de Coordenadas Declividade Hipsometria Geográficas DATUM: SIRGAS 2000 <2% 2 - 5% 5 - 15% Hidrografia <= 50 50 - 100 100 - 150 150 - 200 200 - 250 350 - 400 400 - 450 Base de dados: IBGE e USGS Imagem: SRTM 30 metros. Ano: 2024.

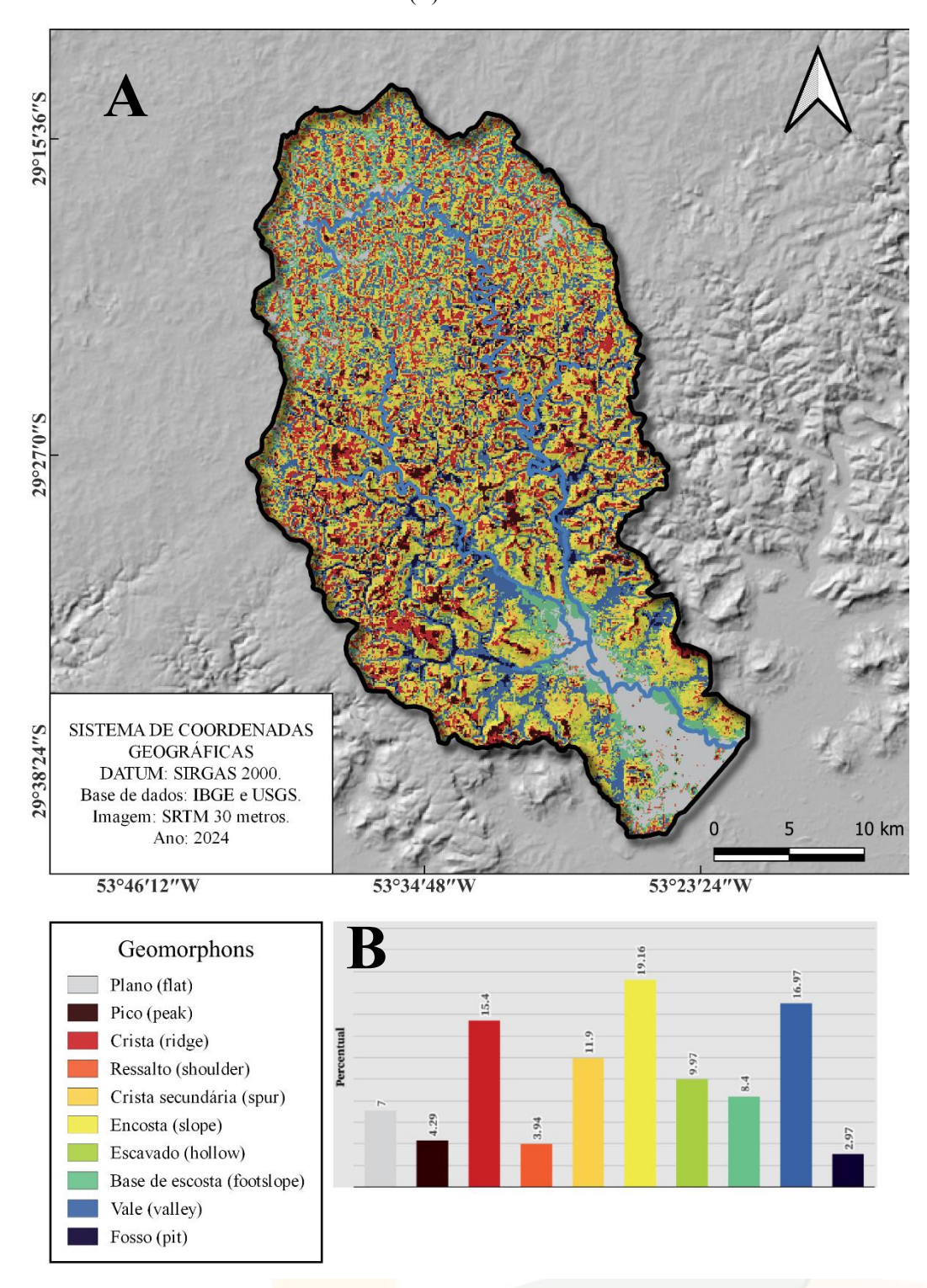
Figura 2 – Mapa de Hipsometria e Declividade

Fonte: Ribeiro et al. (2024).

A aplicação do algoritmo permitiu identificar os 10 elementos geomorfométricos do relevo na área de estudo (Figura 3). Com base nos dados encontrados, o tipo mais prevalente foi a encosta, com 219 km² (19,16%), seguido pelos vales (194 km²; 16,97%), cristas (176 km²; 15,40%), cristas secundárias (136 km²; 11,90%) e escavado (114 km²; 9,97%). Elementos menos expressivos em extensão incluíram base de encosta (96 km²; 8,40%), planos (80 km²; 7,00%), picos (49 km²; 4,29%), ressaltos (45 km²; 3,94%) e fossos (34 km²; 2,97%).



Figura 3 – Mapa de geomorphons da área de estudo (A) com a porcentagem de ocupação de cada classe (B).



Fonte: Elaborado pelos autores (2025).



A predominância dos *geomorphons* encosta, vales, crista e crista secundária, marcam a principal característica geomorfológica da área de estudo, o contato entre a Depressão Periférica e o Planalto da Serra Geral. Conforme observado na figura 3, as áreas de encosta e vale são bem delimitadas nas porções em que o relevo passa de plano para mais movimentado. Isso ocorre principalmente nas áreas de rebordo, que se caracteriza por encostas íngremes e vales que descendem para a depressão periférica, aliados a áreas correspondentes a cristas e cristas secundárias, que delimitam divisores topográficos, controladores da dinâmica de escoamento superficial.

As áreas mais planas, localizadas na Depressão Periférica, por sua vez, são marcadas pelos elementos base de encosta e plano. Nessas porções, o Rio Soturno possui sua foz com o Rio Jacuí. A área é caracterizada por declividade próxima a zera, o que favorece processos deposicionais e a formação de planícies aluviais.

As diferentes condições topográficas da BHRS dão origem à variedade no uso e ocupação da terra. Nas porções de planalto, destaca-se o plantio de soja e milho, nas áreas de planície arroz, e nas áreas de rebordo, onde inclinação do relevo é maior, predominam formações florestais nativas (ALBERTI, 2005).

## CONSIDERAÇÕES FINAIS

A metodologia utilizada se demonstrou eficaz, uma vez que possibilitou identificar e caracterizar as principais características do relevo da área de estudo. A definição dos valores utilizados para as variáveis "t", "L" e "s" no presente trabalho foram determinantes para a classificação, que correspondeu com as características reais do relevo.

Os resultados alcançados demonstram o potencial da aplicação da ferramenta em projetos voltados ao planejamento e ordenamento territorial. Ao mesmo tempo, também potencializa o desenvolvimento de novas pesquisas a serem realizadas na área de estudo.

Palavras-chave: Relevo; Planejamento Ambiental; Geomorfologia.



### REFERÊNCIAS

ALBERTI, A. A. Influência do uso da terra em variáveis limnológicas no Rio Soturno, Rio Grande do Sul-Brasil. 2015. Dissertação (Mestrado em Geografia e Geociências) — Universidade Federal de Santa Maria, Centro de Ciências Naturais e Exatas, 2015.

DESCOVI FILHO, L. U. Mapeamento de Unidades de Relevo da Sub-Bacia Hidrográfica do Rio Soturno/RS. 2007. 64 f. Trabalho de conclusão de curso (Geografia). Universidade Federal de Santa Maria, Santa Maria. 2007.

DOTTO, A. V. E.; ROBAINA, L. E. S. Identificação e Classificação do relevo do município de São Martinho da Serra – RS. **Ciência e Natura**, v. 43, p. 49, 2021. Disponível em: <a href="https://doi.org/10.5902/2179460X42781">https://doi.org/10.5902/2179460X42781</a>. Acesso em: 30 jun. 2025.

DUTRA, D. S.; FURLAN, A. R.; ROBAINA, L. E. S. Compartimentação dos elementos do relevo da bacia hidrográfica do arroio Pantanoso – Canguçu/RS, através da proposta dos geomorphons. **Revista Brasileira de Geografia Física**, v. 13, n. 2, p. 713–726, 2020. Disponível em: <a href="https://doi.org/10.26848/rbgf.v13.2.p713-726">https://doi.org/10.26848/rbgf.v13.2.p713-726</a>. Acesso em: 30 jun. 2025.

FURLAN, A. R.; TRENTIN, R.; ROBAINA, L. E. S. Classificação dos elementos do relevo a partir da metodologia dos geomorphons na bacia hidrográfica do rio Apuaê-Mirim, RS. **Boletim Geográfico do Rio Grande do Sul**, n. 32, p. 27–45, 2018. Disponível em: <a href="http://200.198.145.164/index.php/boletim-geografico-rs/article/view/4192">http://200.198.145.164/index.php/boletim-geografico-rs/article/view/4192</a>. Acesso em: 30 jun. 2025.

GUADAGNIN, P. M. A.; TRENTIN, R. Classificação do relevo com base nos elementos de Geomorphons e sua relação com a vegetação florestal nativa na Serra do Caverá - Sudoeste do RS, Brasil. **GeoTextos**, v. 15, n. 1, 2019. Disponível em: <a href="https://doi.org/10.9771/geo.v15i1.30646">https://doi.org/10.9771/geo.v15i1.30646</a>. Acesso em: 01 jul. 2025.

JASIEWICZ, J.; STEPINSKI, T. Geomorphons—a pattern recognition approach to classification and mapping of landforms. **Geomorphology**, v. 182, p. 147-156, 2013. Disponível em: <a href="https://doi.org/10.1016/j.geomorph.2012.11.005">https://doi.org/10.1016/j.geomorph.2012.11.005</a>. Acesso em: 04 abr. 2025.

MACMILLAN, R.; SHARY, P. Landforms and landform elements in geomorphometry. *In*: HENGL, Tomislav; REUTER, Hannes. **Developments in soil Science: Geomorphometry - Concepts, Software, Applications**, v. 33, p. 227-254, 2009.

PINHEIRO, H. S. K.; ANJOS, L. H. C.; JUNIOR, W. C.; CHAGAS, C. S. Modelos baseados em árvores para predição de classes de solo. Embrapa. *In*: **Congresso brasileiro de ciência do solo**, p. 1-5, 2015.

RADEMANN, L. K.; TRENTIN, R. Compartimentação do relevo de forma automatizada em ambiente SIG na bacia hidrográfica Areal do Limeira, Cacequi/RS. **Geographia Opportuno Tempore,** v. 4, n. 2, p. 45–56, 2018.



ROBAINA, L. E. S.; TRENTIN, R.; CRISTO, S. S. V; Sccoti, A. A. V. Application of the concept of geomorphons to the landform classification in Tocantins state, Brazil. **RA'EGA - O Espaço Geográfico Em Análise**, 41, p. 37–48. 2017. Disponível em: <a href="https://doi.org/10.5380/raega.v41i0.48724">https://doi.org/10.5380/raega.v41i0.48724</a>. Acesso em: 30 jun. 2025.

RIBEIRO, L. S. et al. Análise morfométrica da Bacia Hidrográfica do Rio Soturno, região Central do Rio Grande do Sul. *In*: **XX SBGFA - Simpósio Brasileiro de Geografia Física Aplicada & IV ELAAGFA - Encontro Luso-Afro-Americano de Geografia Física e Ambiente**, 2024. Disponível em: https://editorarealize.com.br/artigo/visualizar/118334. Acesso em: 20 jun. 2025.

ROBAINA, L. E. S.; TRENTIN, R.; LAURENT, F. Compartimentação do estado do rio grande do sul, brasil, através do uso de geomorphons obtidos em classificação topográfica automatizada. **Revista Brasileira de Geomorfologia**, v. 17, n. 2, 2016. Disponível em: <a href="https://doi.org/10.20502/rbg.v17i2.857">https://doi.org/10.20502/rbg.v17i2.857</a>. Acesso em: 30 jun. 2025.

SARTORI, P. L.; FILHO, C. M.; MENEGOTTO, E. Contribuição ao estudo das rochas vulcânicas da bacia do Paraná na região de Santa Maria, RS. **Revista brasileira de Geociências**, v. 5, p. 141-159, 1975.

SILVA, S. H. G. S. et al. Geomorphometric tool associated with soil types and properties spatial variability at watersheds under tropical conditions. **Scientia Agricola**, v. 73, n. 4, p. 363–370, 2016. Disponível em: <a href="https://doi.org/10.1590/0103-9016-2015-0293">https://doi.org/10.1590/0103-9016-2015-0293</a>. Acesso em: 30 jun. 2025.

SILVEIRA, C. T.; SILVEIRA, R. M. P.; TRENTIN, R. ROBAINA, L. E. S. Classificação automatizada de elementos de relevo no estado do paraná (Brasil) por meio da aplicação da proposta dos geomorphons. **Revista Brasileira De Geomorfologia**, v. 19, n. 1, 2018. Disponível em: https://doi.org/10.20502/rbg.v19i1.1263. Acesso em: 30 jun. 2025.

USGS, United States Geological Survey. **Modelos Digitais de Elevação**. Disponível em: <a href="https://earthexplorer.usgs.gov/">https://earthexplorer.usgs.gov/</a>. Acesso em 8 março de 2025